

## Li:ZnO를 이용하여 제조한 FBAR의 열처리 온도에 따른 주파수 특성

김봉석, 김응권, 황현석, 강현일, 이규일, 이태용, 송준태

성균관대학교 정보통신공학과

### Frequency characteristics of Li doped ZnO thin film resonator annealed by various temperatures

Bong-seok Kim, Eung-kwon Kim, Hyun-suk Hwang, Hyun-il Kang, Kyu-il Lee, Tae-yong Lee, Joon-tae Song

Department of Information and Communication, Sungkyunkwan University

**Abstract :** In this paper, frequency characteristic of FBAR was studied as a function of annealing temperature. we have used Li dopant to enhance electrical properties of ZnO thin film. Li:ZnO thin film was deposited on Al(300 nm)/SiO<sub>2</sub>(500 nm)/Si(500 μm) and each layer was patterned. Thermal treatment was executed in range of between 300 and 600°C in O<sub>2</sub> ambient. We observed that the resistivity of ZnO is enhanced under the influence of Li doping and return loss in FBAR frequency properties is improved through annealing.

**Key words :** Li:ZnO, FBAR, Frequency characteristic, Annealing temperature

### 1. 서 론

기존 SAW(surface acoustic wave) 공진기의 단점을 극복한 소자로 체적탄성파를 이용하는 FBAR(film bulk acoustic resonator)가 있다. 대부분의 FBAR는 샌드위치 구조로써 상부전극과 하부전극 사이에 압전물질이 삽입되는 MIM(metal-insulator-metal)형태이다[1]. 압전물질로는 주로 AlN 또는 ZnO가 사용된다. ZnO는 II-VI족 반도체 화합물로 우수한 압전 특성을 지닌다. ZnO가 공진기 압전재료로서 적용되기 위해서는 우수한 결정 배향성과 높은 비저항( $10^6 \Omega\cdot\text{cm}$  이상) 특성이 필수적이다. ZnO에 Li를 미량 첨가하여 electron acceptor 역할을 함으로써 박막의 비저항을 향상시킬 수 있다. 기판 위에 증착된 압전 박막을 열처리를 실시함으로써 결정성을 향상시키는 방법이 다양하게 연구되었다. 열처리는 박막 내의 결함과 응력을 완화시키고, 결정성을 향상시키는데 기여하는 것으로 알려져 있다.

본 연구에서는 기판 위에 ZnO 박막을 성장시킨 후 300~600°C 구간에서 열처리를 실시함으로써 결정성의 향상에 따른 구조적, 전기적 특성과 주파수 특성의 변화에 대하여 연구하였다.

### 2. 실 험

FBAR 소자를 제작하기 위한 개략적인 공정순서는 다음과 같다. 먼저 두께 500 μm의 실리콘 기판을 준비하고 산소분위기의 전기로를 이용하여 열 산화막(thermal oxidation film)을 0.5 μm 두께로 성장시켰다. 하부전극은 열 증발기(evaporator)를 이용하여 Al을 300 nm의 두께로 증착하였다. Li:ZnO 박막은 pulse dc magnetron sputtering을 이용하여 1.5 μm의 두께로 증착하였으며 열처리는 산소분위기에서 300~600°C의 온도로 30분간 실시하였으며 하부층 실리콘 막은 25 wt%의 TMAH용액을 이용하여 에칭을 한 후 SiO<sub>2</sub> 박막은 불산용액(17:1)을 이용하

여 에칭을 하였다. 증착된 ZnO 박막의 결정구조와 미세조직의 분석을 위해 XRD(X-ray diffractometer)를 이용하였고 최종 공진기의 주파수 특성을 측정하기 위해 네트워크 어날라이저(network analyzer)를 이용하였다.

표 1. Li:ZnO 박막의 증착조건

Parameter	Value
Target	Li 1.25 at% doped ZnO
Power mode	Asymmetric bipolar pulse DC
Power	200 W
Base pressure	$6 \times 10^{-4}$ Pa
Sputtering gas	Ar - 10 sccm, O <sub>2</sub> - 10 sccm
Substrate distance	60 mm
Film thickness	1.5 μm
Annealing temperature	300, 400, 500, 600°C in O <sub>2</sub> ambient

### 3. 결과 및 고찰

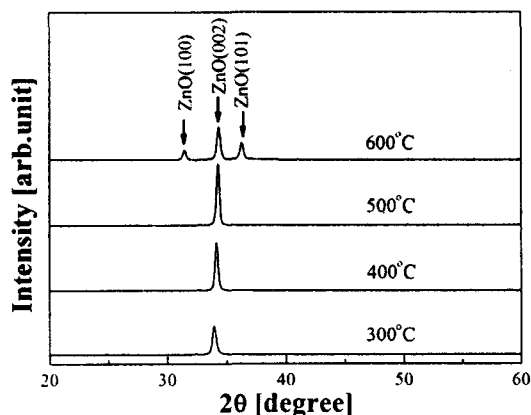


그림 1. 열처리온도에 따른 XRD 패턴

그림 1은 동일한 조건에서 성장시킨 Li:ZnO 박막을 각각 다른 온도에서 열처리한 후 XRD 실험을 한 결과이다.

Li:ZnO 박막은 전체적으로  $2\theta=34.42^\circ$  근처에서 발생하는 (002) 피크가 우세하게 관찰되었다. 이 결과는 결정이 기판에 수직하게 성장하였음을 의미한다. 또한 열처리온도가 높을수록 피크의 강도가 향상되어 500°C에서 가장 큰 강도를 보이는 것으로부터 열처리에 의해 결정성이 향상되었음을 확인하였다. 하지만 600°C에서 열처리한 Li:ZnO 박막은 (100)과 (101) 피크가 발견되는 것으로 보아 다결정으로 변화한 것을 알 수 있었다.

변형이 없는 상태의 표준 ZnO 파우더로 XRD 실험을 실시했을 경우 (002)피크는  $34.42^\circ$ 에서 발생한다. 하지만 본 실험에서 박막으로 성장시켜 열처리를 실시한 박막의 (002)피크는  $34.42^\circ$ 보다 작은 각으로 이동해 있다. 이러한 결과는 박막의 증착단계에서 ZnO의 비화학양론적 결합과 Li 도핑의 영향뿐만 아니라 열처리 온도에 따른 박막 내의 응력으로 격자 내 변형의 영향으로 피크의 발생 위치가 이동하게 된다<sup>[2]</sup>. 본 실험에서 박막 내의 응력을 알아보기 위하여 (1)식을 이용하여 계산하였다<sup>[3]</sup>.

$$\sigma(\text{stress}) = -453.6 \times 10^9 ((c - c_0)/c_0) \quad \dots(1)$$

위 식에서  $c_0$ 은 표준 파우더 ZnO로부터 얻어진  $c$ 축 격자 상수값( $c_0=5.205$ )이며  $c$ 는 실험으로부터 얻어진 격자상수이다. 위의 식으로부터 계산된 열처리온도에 따른 응력의 크기 및 계산된 결정 크기를 표 2에 나타내었다. 실험결과에서 높은 온도에서 열처리를 할수록 (002) 피크가  $34.42^\circ$ 에 가까운 각에서 발생하였음을 확인하였다. 이로부터 열처리를 통하여 박막 내의 응력이 크게 완화되었음을 확인할 수 있었다.

표 2. 열처리온도에 따른 Li:ZnO의 구조적 특성

Annealing temperature(°C)	300	400	500	600
Peak shift (degree)	-0.24	-0.13	-0.06	-0.04
c-axis lattice parameter	5.2824	5.2493	5.2286	5.2227
Compressive stress(GPa)	6.7	3.9	2.1	1.5
FWHM (radian)	0.006632	0.005585	0.005236	0.005930
Crystallite size (nm)	22.8468	27.1465	28.9672	25.5621

표 3은 Li:ZnO 박막의 열처리 온도에 따른 비저항과 표면 거칠기를 나타내었다. 표면 거칠기는 300°C보다 열처리 온도가 높을수록 평탄한 형상을 보이면서 500°C에서 20 nm로 가장 우수한 표면특성을 보였다. I-V data로부터 계산된 비저항은 최소  $10^7 \Omega \cdot \text{cm}$ 에서 최대  $10^{11} \Omega \cdot \text{cm}$  까지 변화하며 순수 ZnO 박막보다 전체적으로 높은 비저항 값을 보였다. 실험 결과로부터 ZnO 박막 증착 후 열처리에 의해 표면 거칠기와 비저항이 향상될 수 있음을 확인하였다.

표 3. 열처리온도에 따른 비저항과 거칠기

Annealing temperature (°C)	300	400	500	600
Resistivity ( $\Omega \cdot \text{cm}$ )	$3.5 \times 10^7$	$5.3 \times 10^8$	$1.5 \times 10^{11}$	$8.2 \times 10^7$
Roughness (nm)	80.73	35.902	21.109	80.12

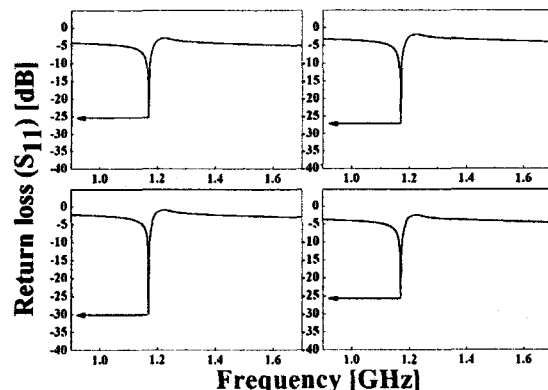


그림 2. 열처리온도에 따른 반사손실

그림 2는 열처리 온도변화에 따라 최종 공진기를 제작하여 주파수 특성을 측정하여 나타내었다. Li:ZnO 박막을 이용하여 제작한 공진기는 박막의 열처리 온도에 상관없이 공진주파수는 1.17 GHz에서 동일하게 나타났다. 반면 공진주파수에서의 반사손실은 열처리온도에 따라 각각 다르게 나타났다. 300°C에서 열처리를 실시한 공진기의 반사손실은 -24.9 dB였고 500°C에서 열처리한 박막을 이용한 공진기는 -29.8 dB로 가장 높은 반사손실을 보였다<sup>[4]</sup>.

#### 4. 결 론

본 실험에서는 membrane형 FBAR를 제작하여 열처리 온도에 따른 주파수 특성을 연구하였다. 최종적으로 제작된 FBAR에서는 열처리온도에 상관없이 1.17 GHz의 공진주파수를 보였지만 반사손실은 300°C에서 -24.9 dB, 500°C에서 -29.8 dB를 보여 열처리온도에 따라 향상되는 경향을 보였다. 실험을 통하여 ZnO에 Li를 도핑함으로써 비저항 특성을 향상시킬 수 있었고, 열처리를 통하여 주파수 특성에서 반사계수를 향상시킬 수 있음을 확인하였다.

#### 감 사 의 글

본 연구는 산업자원부 전력산업연구개발(H-2005-7-147)의 지원으로 수행되었음.

#### 참 고 문 헌

- [1] E.K. Kim, T.Y. Lee, H.S. Hwang, Y.S. Kim, Y. Park, J.T. Song, Superlattices and microstructures, v.39 no.1/4, 2006, pp.138-144
- [2] M.K. Puchert, P.Y. Timbrell, R.N. Lamb, J. Vac. Sci. Technol. A 14(4), Jul/Aug 1996 2220-2230
- [3] M. Chen, Z. L. Pei, X. Wang, C. Sun, L. S. Wen, J. Vac. Sci. Technol. A 19(3) (2001) 963-970
- [4] Linh Mai, Hae-II Song, Le Minh Tuan, Pham Van Su, Giwan Yoon, Microwave and optical technology letters, v.47 no.5, 2005, pp.459-462